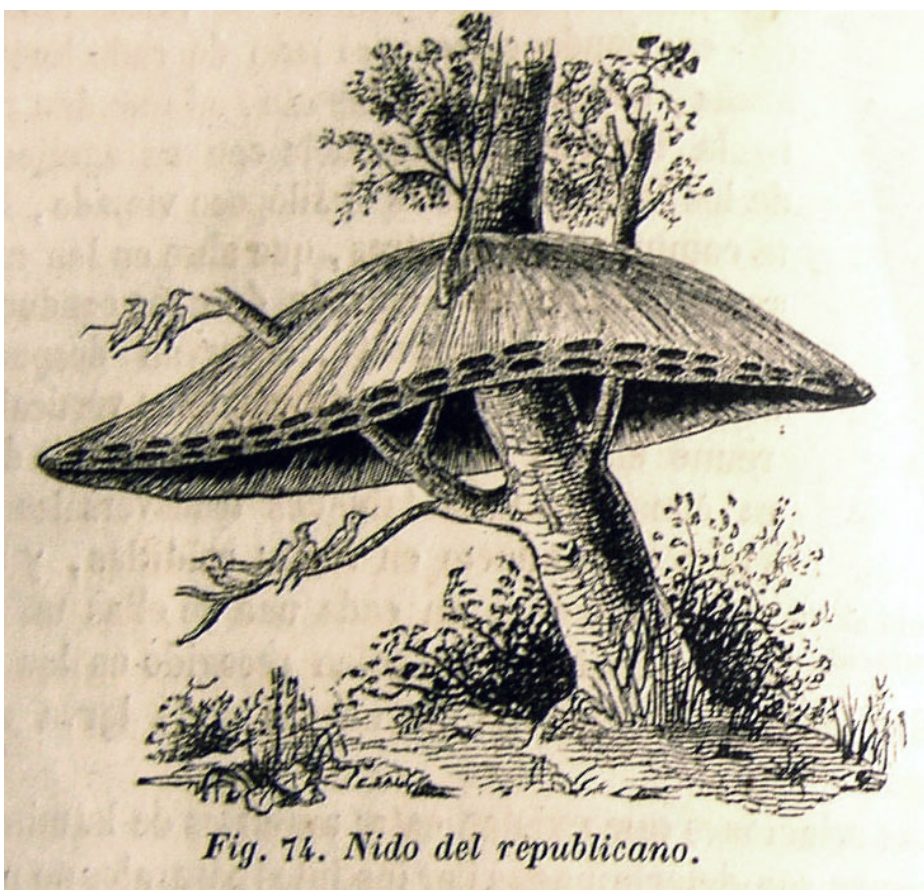


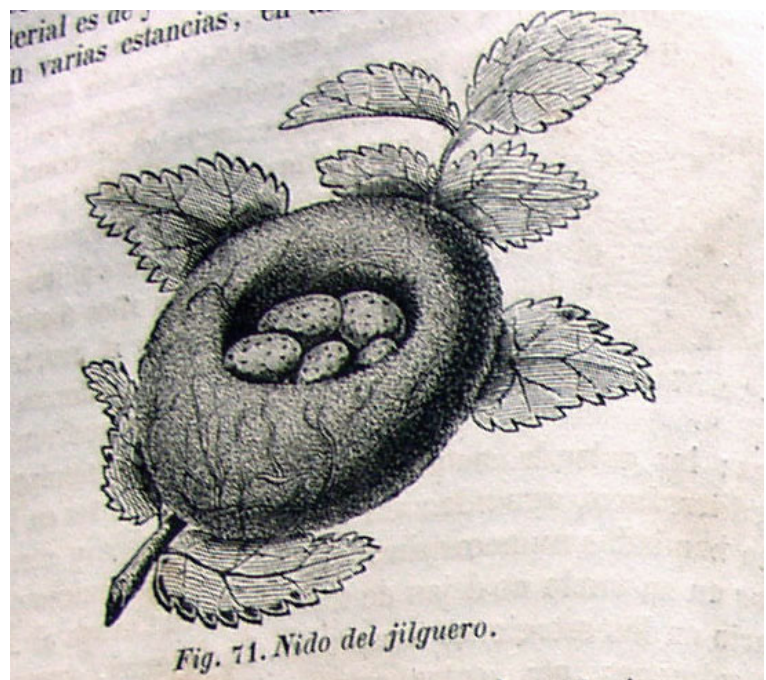


Fig. 208. *Pelícano.*



Fig. 209. *Rabihorcado.*

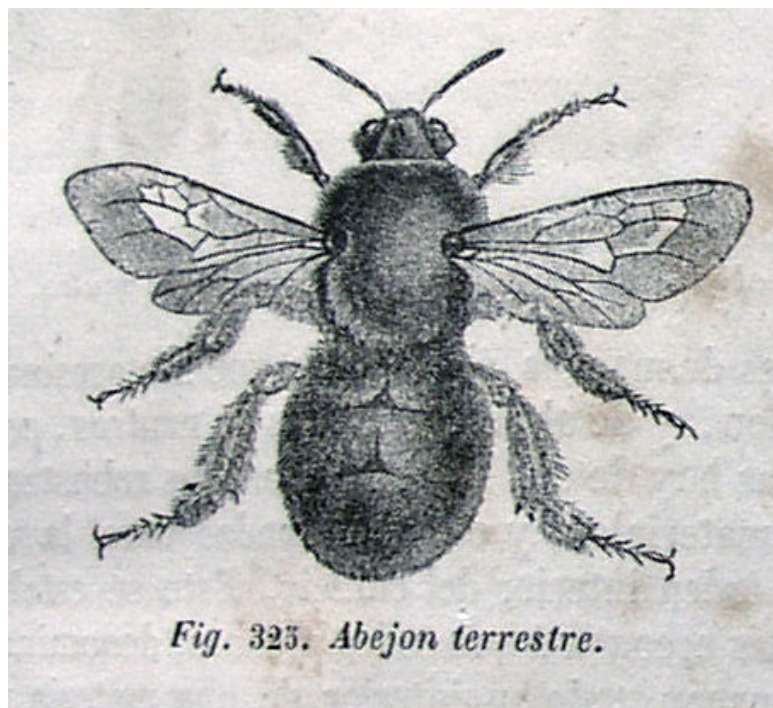






*Fig. 305. Ciervo volante.*

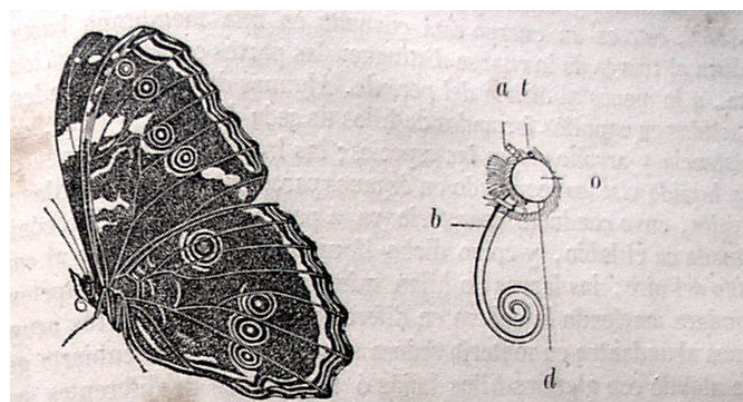
*Il·lustració n. 16*



*Fig. 323. Abejon terrestre.*

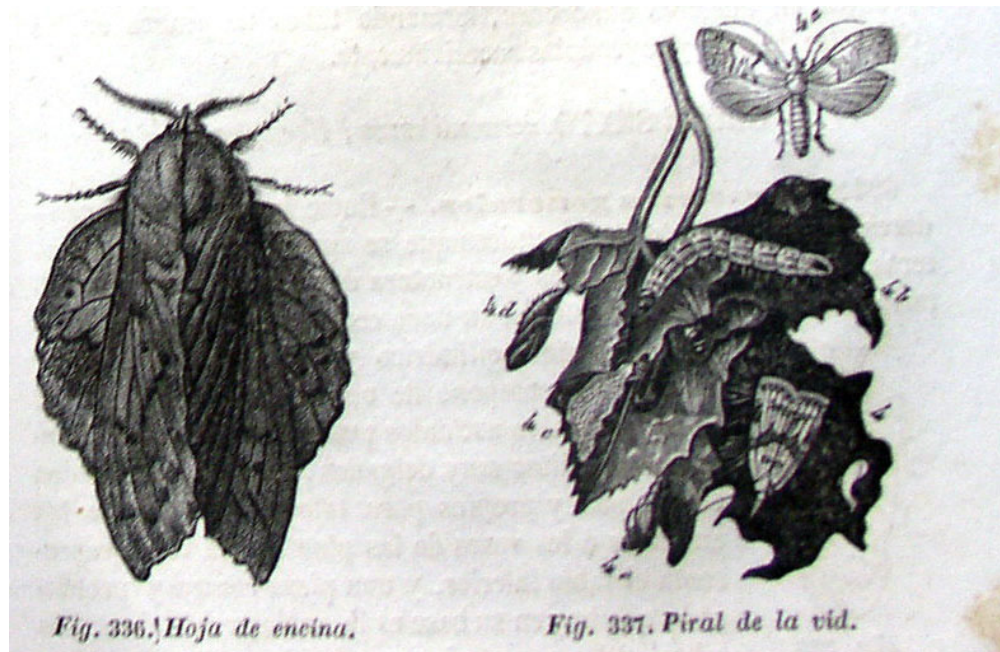


*Fig. 304. Escarabajo sagrado.*



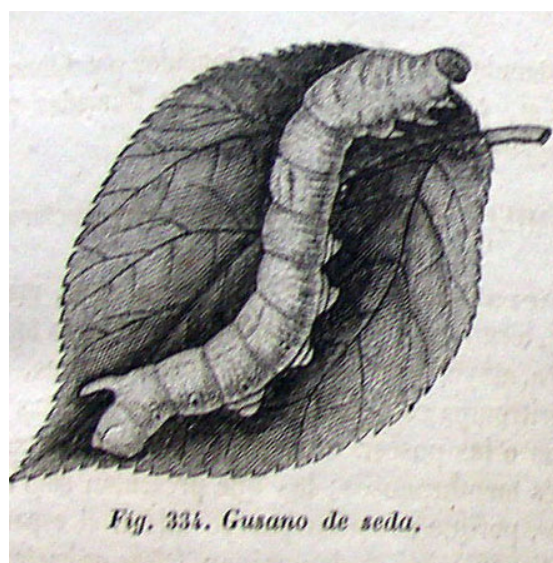
*Fig. 326.*

*Fig. 327. Trompa de una mariposa.*



*Fig. 336. Hoja de encina.*

*Fig. 337. Piral de la vid.*



*Fig. 334. Gusano de seda.*

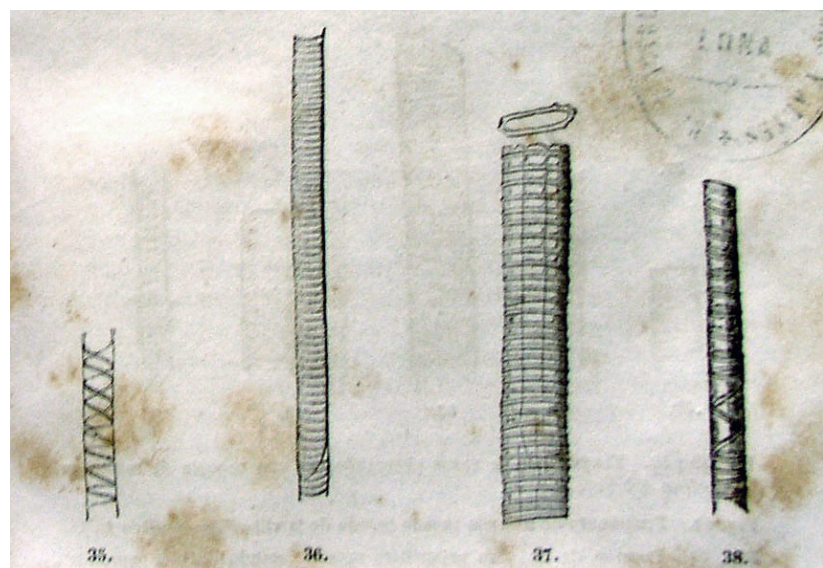


Fig. 37 y 38. Vasos anulares del tallo de la nicaragua (*Impatiens balsamina* L.).

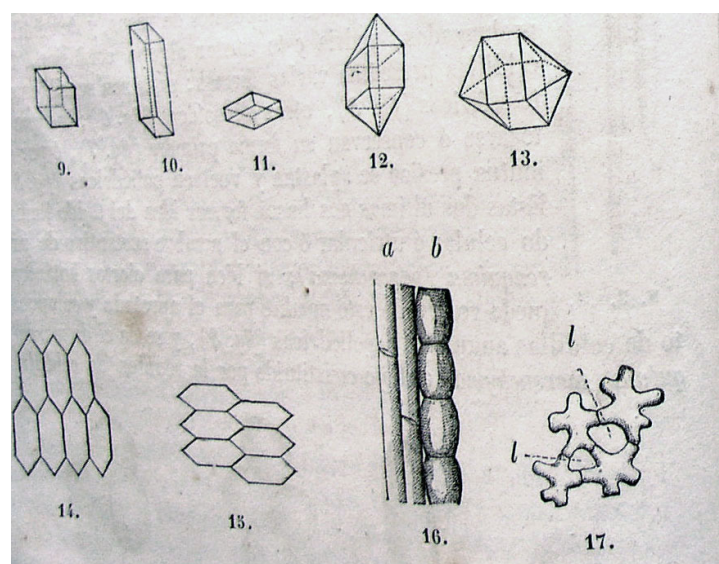
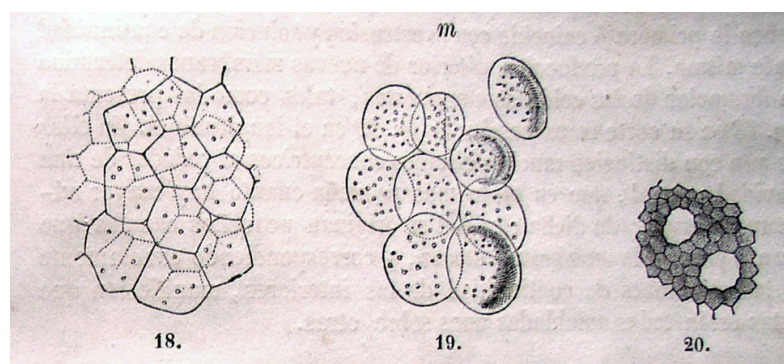
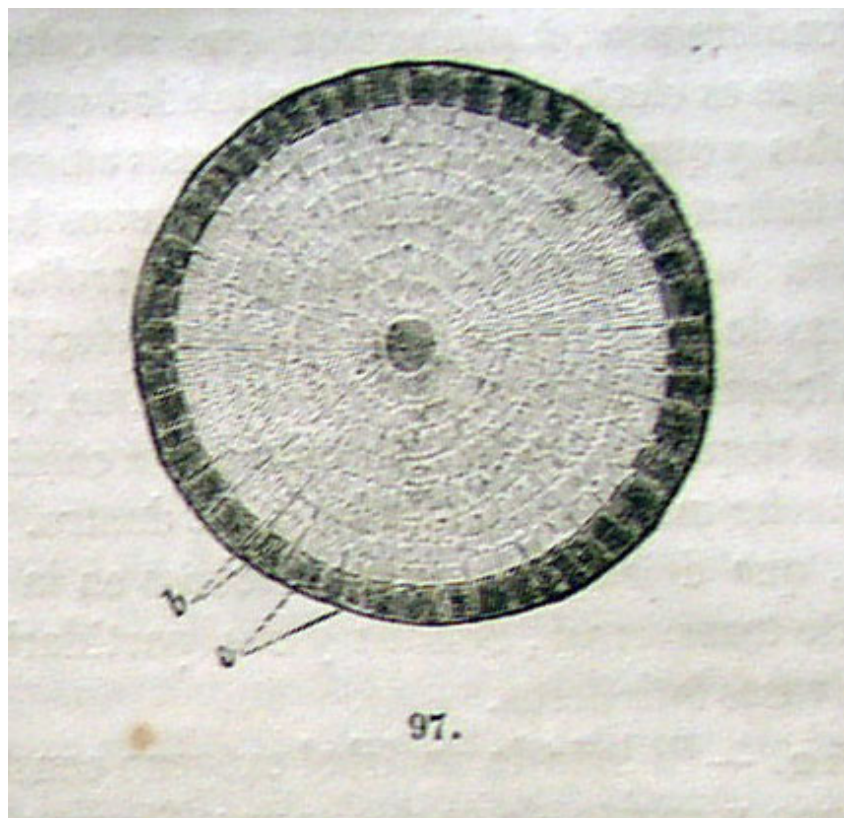
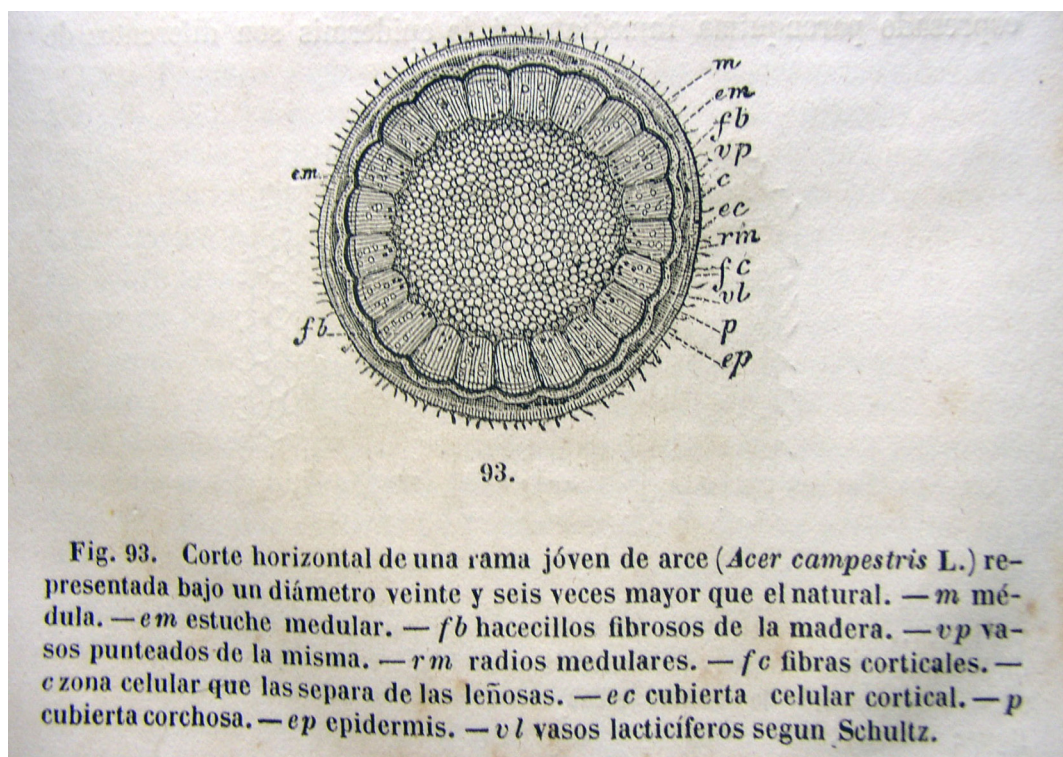


Fig. 17. Celdillas ramosas sacadas de la haba (*Faba vulgaris*) — *l l* huecos.



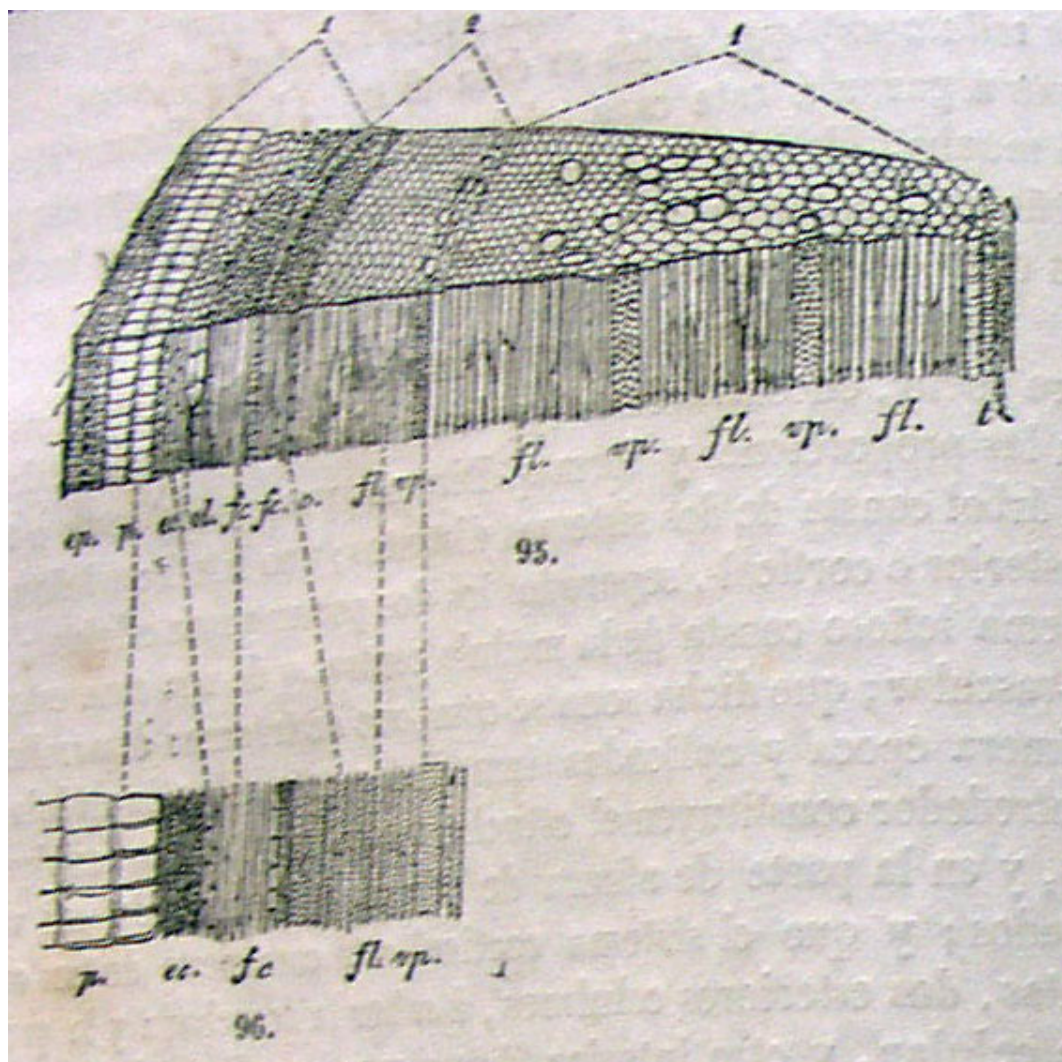
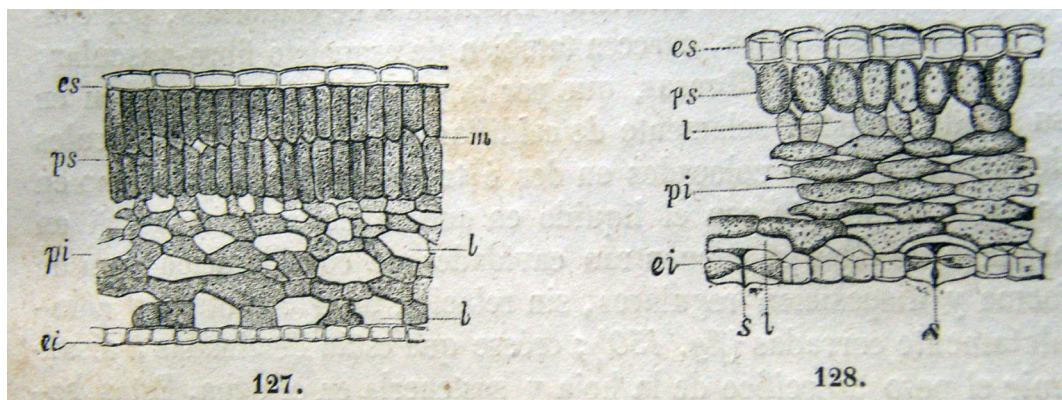


97.



93.

Fig. 93. Corte horizontal de una rama joven de arce (*Acer campestris* L.) representada bajo un diámetro veinte y seis veces mayor que el natural. — *m* médula. — *em* estuche medular. — *fb* hacecillos fibrosos de la madera. — *vp* vasos punteados de la misma. — *rm* radios medulares. — *fc* fibras corticales. — *c* zona celular que las separa de las leñosas. — *ec* cubierta celular cortical. — *p* cubierta corchosa. — *ep* epidermis. — *vl* vasos laticíferos segun Schultz.



Il·lustració n. 21

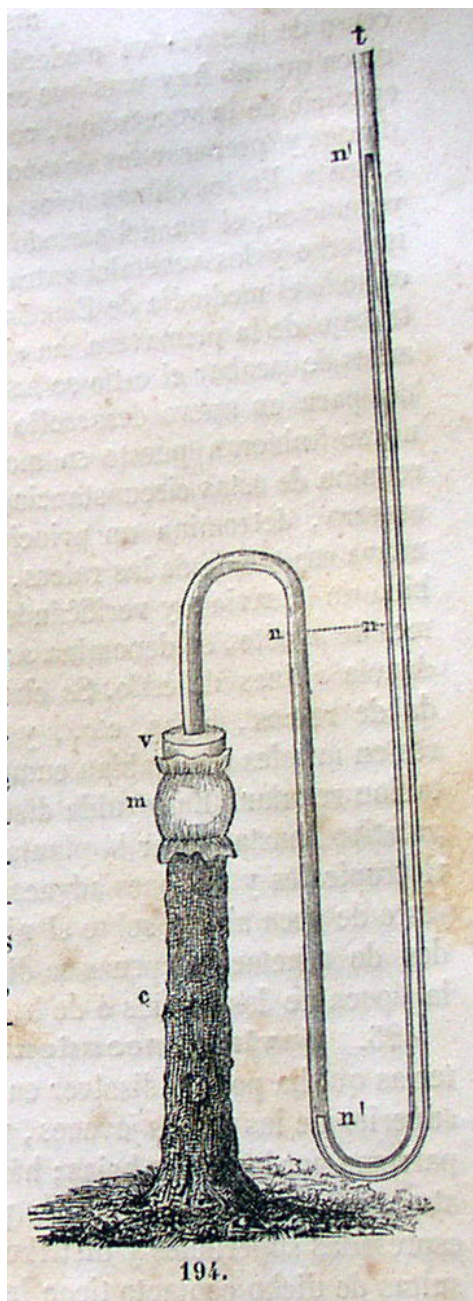


Fig. 194. Tallo de vid cortado á una media vara del suelo y armado de un aparato para conocer la fuerza de ascension de la savia. — *c* cepa. — *t* tubo de vidrio con dos curvaturas adaptado á una pieza cilíndrica de cobre *v*; esta pieza se ajusta y enloda á la superficie cortada del tallo, cubriendo el aparato con un pedazo de vejiga *m* atado convenientemente. — *nn* nivel del mercurio en ambas ramas de la curvatura inferior del tubo antes del experimento. — *n' n'* nivel del mercurio despues del experimento. — La diferencia de los dos niveles, que á veces llega á una vara ó mas, sirve para medir la fuerza de impulsion de la savia ascendente.

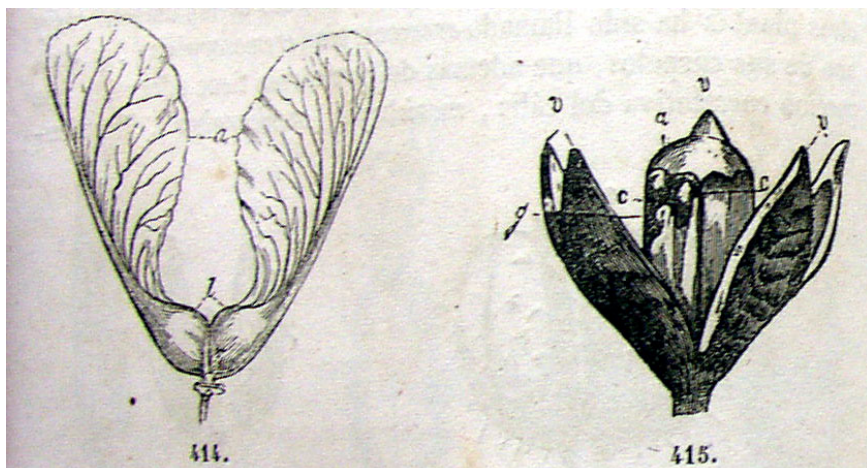


Fig. 414. Sámaras dobles del falso plátano (*Acer pseudo-platanus*). — *a* parte superior formando una ala dorsal en la que es bien manifiesta la nervación. — *l* parte inferior correspondiente á las celdillas cuya línea de separación es ya patente.

Fig. 415. Cápsula de un cedro de América con dehiscencia septifraga. — *v v v* cinco valvas separadas de arriba abajo por sus suturas y de los disepimientos *c c* rotos longitudinalmente junto á ellas. — *a* eje que persiste en el centro, con cinco ángulos salientes formados por los disepimientos prendidos á él, y alternos con otros tantos ángulos entrantes, que corresponden á las celdillas y llevan las semillas *g*.

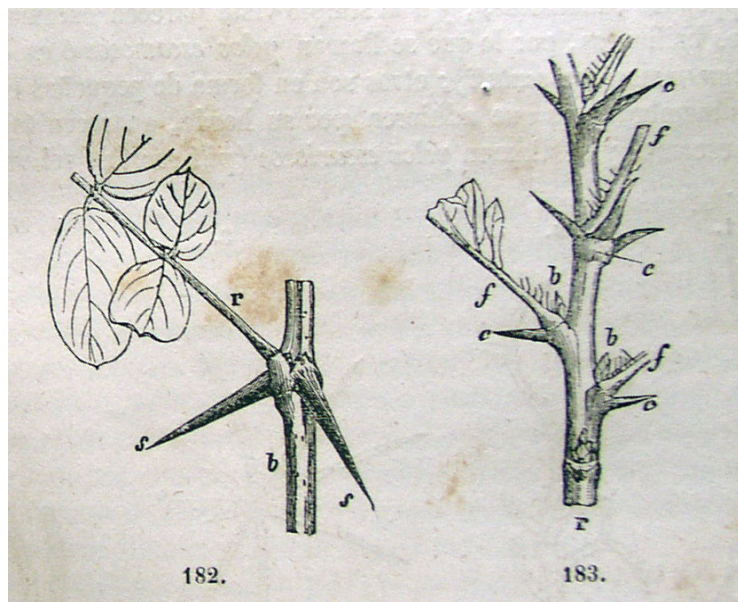
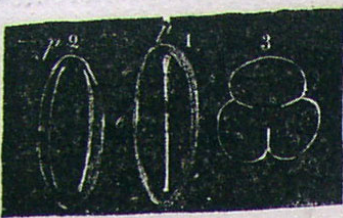


Fig. 182. Pedazo de ramo de la falsa acacia. — *b* rama. — *r* pecíolo de una hoja compuesta de la cual se han quitado los pares superiores de hojuelas. — *s s* estípulas convertidas en espinas.

Fig. 183. Ramo del *Ribes uva-crispa*. — *c c c* almohadillas convertidas en espinas sencillas ó triples. — *fff* base de las hojas. — *b b* yemas situadas en las axilas de las mismas hojas.



336.



337.



338.



340.



339.



341.

342.

Fig. 336. Granos del pólen del *Convolvulus tricolor*. — *p* polo. — *e* ecuador. — 1 grano visto por una cara. — 2 visto por la cara opuesta. — 3 corte perpendicular segun el ecuador.

Fig. 337. Grano de pólen con los pliegues en espiral.

Fig. 338. Grano de pólen de una gramínea con un solo poro.

Fig. 339. Grano de pólen del cáñamo *Cannabis sativa*. — *p p* polos. — *e e* ecuador, en cuya dirección se hallan muchos poros.

Fig. 340. Grano de pólen de la *Corydalis capreolata* con varios poros dispersados sobre la superficie en cierto orden.

Fig. 341. Grano de pólen de una pasionaria antes de la dehiscencia. — *o* opérculos.

Fig. 342. Grano de pólen de una calabacera en el momento de la dehiscencia. — *o o* opérculos separados del resto de la membrana externa por otras tantas porciones salientes *t* de la interna.